

周期的ガラーキン法による定常および準定常流の有限要素解析

中央大学大学院 学生員 小澤 一彰
中央大学理工学部 正会員 川原 瞳人

1. はじめに 潮汐は、周期的に同一の振動が繰り返される準定常な現象であり、半日周潮や日周潮が卓越したものである。また、物質の拡散を考える上で重要な、潮汐に依存する恒流と呼ばれる定常な現象がある。本報は、これらの潮流現象を周期的ガラーキン法⁽¹⁾を適用して解析する。潮流現象は上記のような現象であるので、時間に関する数値解を有限次数のフーリエ級数として定式化される。得られる有限要素方程式は、定常項と準定常項が連成した非線形多元連立方程式系となるが、ニュートンラブソン法により線形化して解く。この手法は陰解法となり、通常行なわれる逐次時間積分法による陽解法より安定性は良く、計算時間の点からも有利である。まだ、十分な結果を得るに至っていないが、これまでに得られた結果について述べる。

2. 基礎方程式 一般に、渕海長波理論が潮汐現象を記述するために適用される。流速を U_i 、潮位を ζ で示せば、基礎方程式はナビエ・ストークス方程式を鉛直方向に積分して得られる次のような式となる。

$$\frac{\partial U_i}{\partial t} + U_i U_{i,j} + g \zeta_{,i} - T_{ij,j} = 0, \quad \frac{\partial \zeta}{\partial t} + [(H+\zeta) U_i]_{,i} = 0 \quad (1)$$

ここで、 $T_{ij} = \rho H (U_{i,j} + U_{j,i})$ で構成され、 g は重力加速度、 H は水深、 ρ は水平渦動粘性係数を示す。添字 i は、図-1 に示す X および Y 座標を表す。本報では簡単のため、コリオリカや底面摩擦の効果は考えない。

境界条件としては、次の 3 つの条件を考える。すなわち、

$$U_i = \hat{U}_i \text{ on } S_1, \quad q_i = T_{ij} n_j = \hat{q}_i \text{ on } S_2, \quad \zeta = \hat{\zeta} \text{ on } S_3 \quad (2)$$

ここで、上付きの $\hat{\cdot}$ は境界で規定された値を示し、 n_j は境界の法線方向の単位ベクトルを表す。また、 $S_1 \sim S_3$ は対応する条件を規定する境界を示す。2番目の条件は人為的境界に対応し、ここでは $\hat{q}_i = 0$ である。

空間方向の離散化は、弱形式の重み付き残差方程式を組みたてた後に、通常のガラーキン法による有限要素法の手続きを踏んで行なわれる。このとき、流速に対しては二次、潮位に対しては一次の内挿を行なう。そして、全領域に重ね合はれた有限要素方程式は、次のように得られる。

$$\{U\} = [M] \left(\frac{\partial V}{\partial t} \right) + [N] \{V\} + [L] \{V\} - \{\hat{f}\} = 0 \quad (3)$$

ここに、 $\{V\}$ および $\{\hat{f}\}$ は、未知および既知のベクトルを示し、これらは全節点の流速および潮位で構成される。また、 $[M]$ は質量マトリックス、 $[N]$ および $[L]$ は非線形および線形項によるマトリックスから構成される。

3. 周期的ガラーキン法 本報では、人為的境界での潮位が三角関数として記されるので、周期的ガラーキン法が適用される。与えられる $\{\hat{f}\}$ は、角振動数 ω と持つ調和級数に展開できる。すなわち、

$$\{\hat{f}\} = \{\hat{f}_0\} + \sum_{j=1}^n \{f_s^j\} \sin(j\omega t) + \sum_{j=1}^n \{f_c^j\} \cos(j\omega t) \quad (4)$$

試験関数も調和級数で表わされるものとする。すなわち、

$$\{V\} = \{V_0\} + \sum_{j=1}^n \{V_s^j\} \sin(j\omega t) + \sum_{j=1}^n \{V_c^j\} \cos(j\omega t) \quad (5)$$

同様にして、重み関数 $\{V^*\}$ も調和級数で表わし、これを式(3)の両辺に掛け、周期で積分すれば、時間に関する重み付き残差方程式を得る。

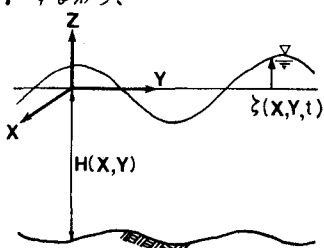


図-1 座標系

$$\int_0^{2\pi/\omega} \{V^*\} \left[[M]\{V\} + [N]\{V\}\{V\} + [L]\{V\} - \{\hat{f}\} \right] dt = 0 \quad (6)$$

式(4)、(5)および重み関数を上式(6)に代入して整理すれば、離散化された方程式系が得られる。すなわち、

$$\begin{aligned} N(V_0) + N'(V_s, V_c) + L(V_0) &= h_0(\hat{f}_0) \\ \pm(\omega) M_1(V_s) + N_1(V_0, V_c) + N'_1(V_s, V_c) + L_1(V_c) &= h_1(\hat{f}_1) \\ -\pm(\omega) M_2(V_c) + N_2(V_0, V_s) + N'_2(V_s, V_c) + L_2(V_s) &= h_2(\hat{f}_2) \end{aligned} \quad (7)$$

これらの方程式は、 $\{V_0\}$ 、 $\{V_1\}$ および $\{V_2\}$ を未知とする連成した非線形多元連立方程式系となっている。よって、定常問題に準じて解くことができる。しかし、非線形なので適当な繰り返しの手順を導入する必要がある。本報では、ニュートン・ラフソン法が適用される。

4. 数値計算例 本手法の潮流解析への適用に対する妥当性を調べるために、多少の数値解析を試みた。渦動粘性係数は一定値 $\nu_h = 10 \text{ m}^2/\text{sec}$ とし、定常流と準定常流の両方に同じ値を用いた。

一つの例は、本手法と二段階陽解法との比較である。図-2に各々の有限要素分割を示す。図-3に示す境界条件の下で、本手法に対しては表-1の条件で数値計算を行った。図-4には恒流成分を描いた。図-4(a)は本手法による結果であり、RUN 1に対応する。また、図-4(b)は陽解法の結果である。次に、図-5は、点P1(cf. 図-3)における潮流図表である。図-5(a)はRUN 1の線形解である。これは、繰り返し計算の初期値でもある。図-5(a')はRUN 1の非線形解である。これに対して図-5(b)に陽解法の結果を示す。

5. おわりに 本手法による結果が、陽解法の結果と良い一致を示したとは必ずしも言えない。しかし、線形解は陽解法とほぼ一致している。線形解で十分な問題に対する安定性や計算時間の点から見て、有効な手法であると言える。準定常成分はフーリエ級数で近似したことにより、満足な結果を得たが、定常成分は要素分割に対する依存度が強いものと考えられるので、今回の要素分割は粗いものと思われる。今後、この点に改良を加え、さらに解析および検討を加えて行きたい。

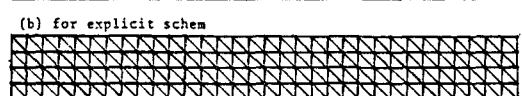
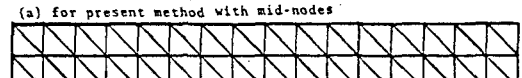


図-2 有限要素分割

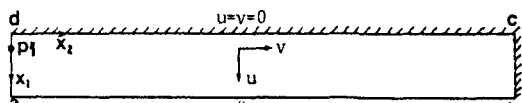


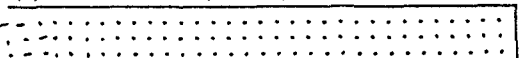
図-3 解析領域および境界、及びP1の位置

RUN	order	N	$\zeta(m)$	$\omega(\text{sec})$
1	2		0.5sinwt	1.4544 10 ⁻⁴

$H=10(\text{m}) \ g=10(\text{m/sec}^2) \ =10(\text{m}^2/\text{sec})$

表-1 計算条件

(a) Present method (RUN 1)



(b) Two step explicit method

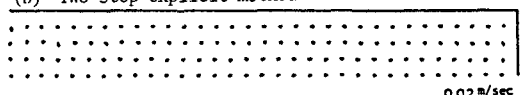
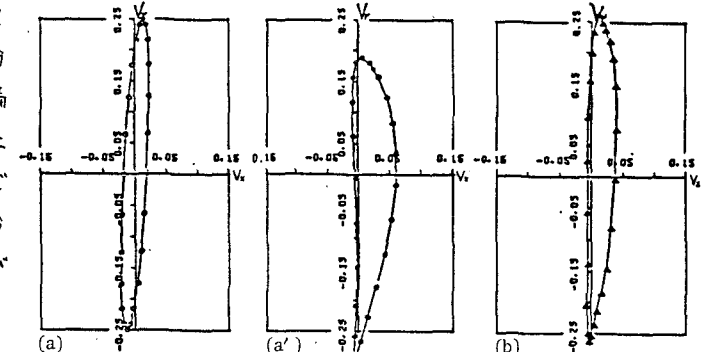


図-4 恒流成分の比較



〔参考文献〕 ⁽¹⁾M.Kawahara and K.Hasegawa,

'Periodic Galerkin Finite Element Method of Tidal Flow', Int.J.num.Meth.Engng, vol.12, 115-127 (1978)

⁽²⁾M.Kawahara et al., 'Selective Lumping Finite Element Method for Shallow Water Flow', Int.J.num.Meth.Fluid., 2 (1982)